

絹에 대한 反應性染料의 平衡論的 研究

吳炳周·卓泰文

서울대학교 農科대학

A study on the Equilibrium Sorption of Silk fibroin by Reactive dye.

Byeong Joo Oh and Tae Moon Tak

College of Agriculture, Seoul National University

SUMMARY

The equilibrium sorptions of C.I. Reactive Blue 19 and C.I. Reactive Blue 19 and C.I. Acid Blue 138 on Silk fibroin were investigated in the range of 50°C, 70°C, 90°C and to the pH range from 2.0 to 10.5. The results obtained are summarized as follows:

- 1) The amount of sorption of reactive dye was increased with the decrease of pH in dyeing solution and temperature. The amount of fixation showed the maximum value to pH 8.5 and 70°C.
- 2) In acidic region, the sorption behavior of acid dye was similar to that of reactive dye, and Langmuir adsorption constant was increased with the decrease of pH.
- 3) Langmuir constant of both dyes was decreased with the increase of temperature, while standard affinity was increased.
- 4) The reaction of both dyes was exothermic and the values of ΔS° were positive.
- 5) It was found that the sorption behavior of dyes against Silk fibroin could be described as Langmuir adsorption and Nernst distribution in lower pH region.

緒論

最近, 反應性染料를 이용한 絹의 染色에 많은 관심을 끌고 있다. 이러한 染料는 선명한 色相과 우수한 세탁堅牢度를 지니고 있음이 특징이며, 初期에는 絹의 染色을 위해 개발되었다. 따라서 셀루로오스섬유에 대한 反應性染料의 染着舉動에 관한 研究는 많이 진행되어 왔으며(Benz, 1961; Stamm, 1961, 1963; Sadov等, 1969). Bohnert(1961), Einsele(1961)等은 glucose染料結合體를 分離하여 Cellulose 染料間에 共有結合을 形成한다고 報告하였다. 한편 단백질섬유의 하나인 羊毛에 대해서도 Shore(1968, 1969)는 羊毛와 反應性染料와의 메카니즘에 관하여 報告하였고, Derbyshire(1965), Reinert(1968)等도 染料-아미노산結合體의 분리에 의해 단백질-염료間의 共有結合을 증명하였다.

그러나 같은 단백질 섬유인 絹에 대한 研究는 비교적 적은 편으로 특히 平衡收着에 관한 研究는 거의 없다.

本研究는, 反應性染料中求核付加反應인 vinyl sulfone系染料인 C.I. Reactive Blue 19(Remazol Brill. Blue R)를 使用하여 pH 및 온도에 의한 染着量 및 固着量을 구하여 絹에 대한 反應性染料의 染着舉動에 관하여 考察하였고, 각 조건에서의 收着式을 검토하여 標準親和力, 吸着熱 및 吸着 entropy를 求하여 收着機構에 관하여 考察하였다. 또한 染料母體는同一하나 反應基를 가지고 있지 않는 酸性染料를 使用하여 反應性染料와 比較 檢討하였다.

材料 및 方法

1. 材 料

(1) 試料

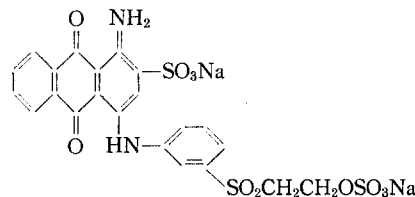
本实验에 사용한 絹絲는, 生絲(21d)를 15% o.w.f. 마르세이유 비누와 10% o.w.f. 無水탄산나트륨液(浴比 50:1) 中에서 90~95°C에서 2.5時間 精練하여 脱液後, 45°C의 溫水 및 無水탄산나트륨液(1g/l)으로 3回 반복 세정후, 冷水로 세정하여 殘存세리신을 제거하였다. 이때의 練減率은 23.5%이었다. 精練된 試料는 大氣中에서 건조시켜 초산마그네슘을 넣은 데시케이터에 보관하였다.

(2) 染料

本实验에 使用된 染料는 다음과 같다.

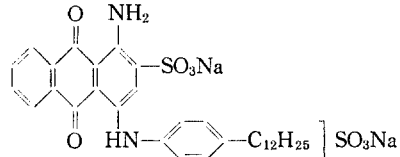
C.I. Reactive Blue 19 (C.I. 61200)

(Remazol Brill. Blue R)



C.I. Acid Blue 138 (C.I. 62075)

(Cablan Blue BN)



2. 實驗方法

(1) 染料의 精製

① 反應性染料

적량의 染料를 dimethylformamide (D.M.F)로 약간 가열($30^{\circ}\sim40^{\circ}\text{C}$) 하면서 용해시켜 한시간 放置시킨 후, 원심분리(2,000 r.p.m., 15分) 시켜 清淨液을 取하여 아세톤에 침전시켜 filter glass 3G-3로 여과한 후 진공건조기에서 건조시켰다. 정제된 染料는 paper chromatography(D.M.F: n-butanol: water=11:11:3 vol) 및 分光法에 의해 순수한 물질임을 확인하였다(Brown (1960)).

② 酸性 染料

Robinson and Mill法(Vickerstaff, 1954; Peters, 1975)으로 精製後, paper chromatography(n-butanol: CH₃COOH:H₂O:4:1:2 vol) 및 分光法으로 순수한 물질임을 확인하였다.

(2) 平衡收着

먼저 所定의 pH용액(HCl 및 NaOH 용액)에서 絹絲를 平衡收着 시킨 후, 所定온도 (50° , 70° 및 90°C) 및 pH染浴中에서 平衡收着시켜 Spectrophotometer (Pye

Unicam PU 8,800 UV/VIS)로, 染色 前後의 最大波長에서의 吸光度를 측정하여 미리 作成된 檢量線으로 부터 건조된 絹絲무게에 대한 染料의 平衡收着量을 求하였다.

(3) 未固着染料의 抽出(清水, 1975)

(2)의 方法으로 染色된 絹을 25% 퍼리던 용액으로 $85^{\circ}\pm2^{\circ}\text{C}$ 에서 2시간 추출한다. 이와 같은 方法으로 2~3회 반복하여 染料가 더 이상 추출되지 않음을 확인한 후, 추출액의 吸光度를 측정하여 미리 作成된 檢量線에 의하여 건조 絹絲무게에 대한 未固着染料量을 求하였다.

(4) 固着染料量

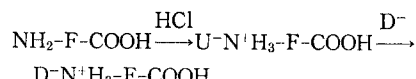
(2)의 方法으로 구한 染料量에서 (3)의 方法으로 구한 未固着染料量을 除하여 固着染料量을 求하였다.

(5) 係數의 決定

Langmuir型 收着平衡常數 K_L , Nernst型 分配係數 K_P 및 鮑和值 S 의 값을 最小自乘法을 利用하여 Computer로 求하였다.

結果 및 考察

求核付加型 反應性 染料인 vinyl sulfone系 反應性 染料는 反應基로서 sulphate ethyl sulfone基를 가지고 있으며, 酸性染浴에서는 染料의 sulfone基가 絹 fibroin의 活性基와 온결합을 形成하여 染着이 된다고 알려져 있다(皆川, 1981).



여기서 F는 絹 fibroin의 主鎖를 의미하고, D⁻는 染料陰이온을 의미한다. 이러한 機構는 酸性染料와 同一한 反應機構로, 染浴中에서擴散速度가 큰 H⁺ 및 U⁻이 먼저 fibroin의 活性基와 結合하고, 다음이 Cl⁻及 D⁻이 交換됨으로써 反應이 진행된다(年, 1983).

또한 中性~弱酸性染浴에서는 sulphate ethyl sulfone基가 알칼리에 의해 vinylsulfone基로 되고 이것이 絹 fibroin의 活性基가 求核的 付加反應에 의해 共有結合을 形成한다고 알려져 있다(黒木 1980).

Fig. 1, 2는 70°C 에서 染浴의 pH를 變化시켜 絹에 대한 C.I. Reactive Blue 19의 平衡收着 및 固着曲線을 나타낸 것이다. 그림에서 보는 바와 같이 染浴의 pH가 낮을 수록 染着量이 증가하는 것을 알 수 있다.

이러한 現象은前述한 바와 같이 pH가 낮을 수록 染料와 fibroin과의 活性基間에 결합하기가 쉬워지기 때 문이라 볼 수 있다. 다시 말하면 pH가 낮을 수록

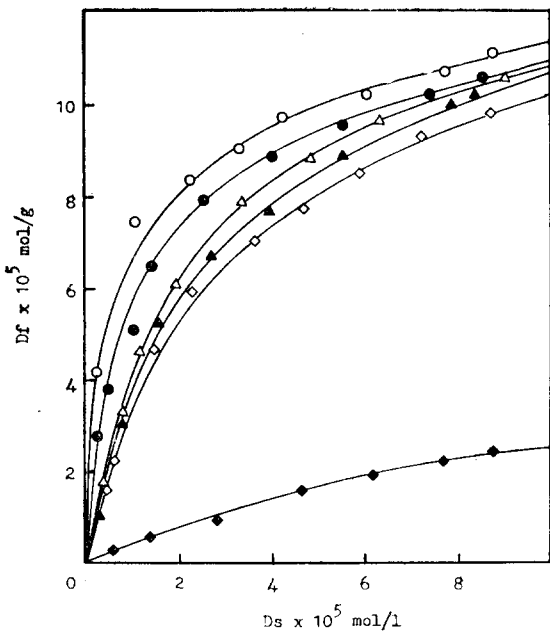


Fig. 1. Adsorption of Reactive Blue 19 by Silk fibroin at 70°C

○ : pH 2.0 ● : pH 4.0 △ : pH 7.0
 ▲ : pH 8.5 ◇ : pH 9.5 ◆ : pH 10.5

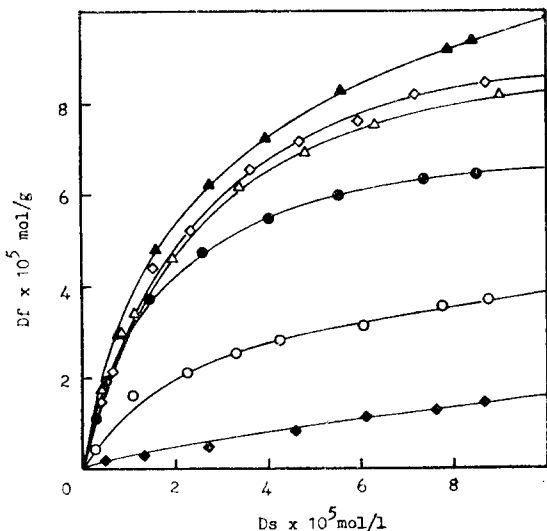


Fig. 2. Fixation of Reactive Blue 19 by Silk fibroin at 70°C

○ : pH 2.0 ▲ : pH 8.4 ● : pH 4.0
 ◇ : pH 9.5 △ : pH 7.0 ◆ : pH 10.5

fibroin의 染着座席의 數가 增加하기 때문에 染着量이增加하는 現象이라 볼 수 있다. 또한 이러한 染着座席

以外에 낮은 pH에서는 染料酸이 存在하여 이러한 染料酸이 또 다른 型의 染着의 要因으로서 作用한다는 것을 示唆하고 있다. 한편 中性～弱酸性染浴에서도 染着量이 比較的 큰 이유는, 이온結合에 의한 染着은減少하지만, 諸論에서 記述한 바와 같이 共有結合에 의한 染着이 많아지기 때문이라 볼 수 있으며, pH 10.5에서 染着量이 매우 낮은 것은 染料의 加水分解가 일어나기 때문이라 思料된다.

Fig. 2에서 보는 바와 같이 固着量인 경우는, pH가 높을수록 增加하여 pH 9.5에서 最大值를 보이고 pH가 9.5以上에서 다시 減少함을 알 수 있다. 이러한 사실로 보아 中性～弱酸性領域에서 絹과 染料間에 共有結合이 가장 많이 진행된다고 볼 수 있으며, pH 9.5以上에서는 絹과 反應하지 않는 β -hydroxy sulfone 基가生成되기 때문에 pH 10.5에서는 染料의 대부분이 β -hydroxy sulfone基로 變하여 固着量이 적어진다고 말할 수 있다.

이러한 結果로 보아 固着量이 最大值를 보이는 pH 8.5에서 染色하는 것이 소비과학적인 면에서 강조되고 있는 堅牢度, 특히 세탁건조도가 높은 직물을 얻는데 適合하다고 思料된다.

Fig. 3, 4는 固着量이 가장 많은 pH 8.5에서 온도를 50, 70 및 90°C로 변화시켜 각각의 조건에서 平衡染着 및 固着曲線을 나타낸 것이다.

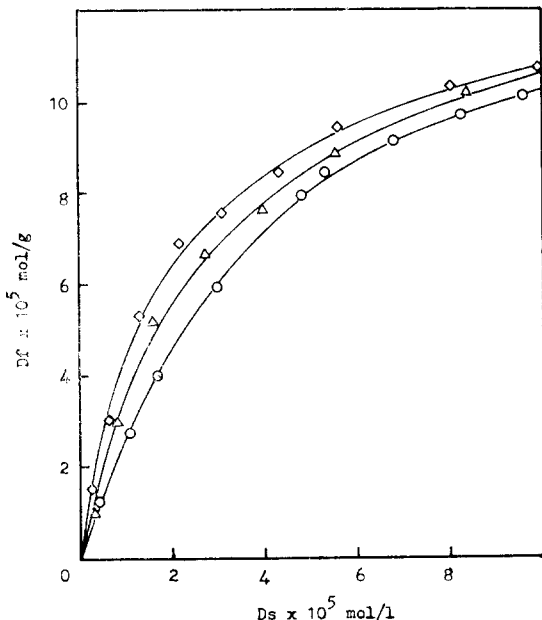


Fig. 3. Adsorption of Reactive Blue 19 by Silk fibroin at pH 8.5

◇ : 50°C △ : 70°C ○ : 90°C

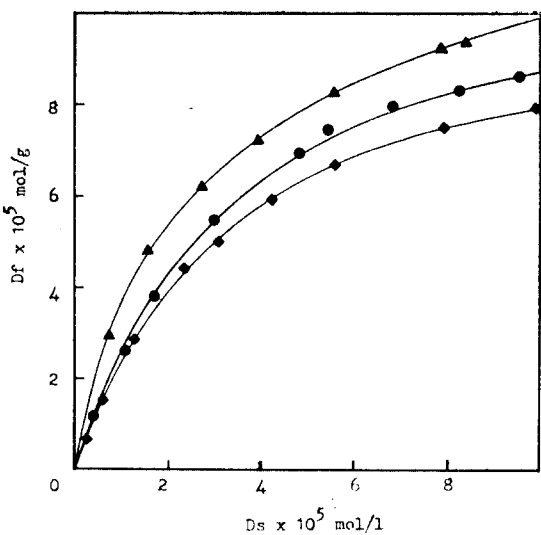


Fig. 4. Fixation of Reactive Blue 19 by Silk fibroin at pH 8.5
 ■ : 50°C ▲ : 70°C ● : 90°C

그림에서 보는 바와 같이, 染着量은 온도의 상승과 더불어 減少하고 있음을 알 수 있다. 이러한 원인은 다음式에서 알 수 있는 바와 같이 正의 엔탈피($-\Delta H$, Table 3 참조)를 가짐으로써 溶解度係數가 온도의 상승과 더불어 감소하기 때문이라 볼 수 있다.

$$S = S_0 \exp [-\Delta H/RT] \quad (1)$$

단, S : 溶解度係數, S_0 : 常數, ΔH : enthalpy, R : 氣體常數 T : 절대온도 또한 온도가 상승함에 따라 染浴中の 染料分子 및 硫化鎖狀分子의 热運動이 활발해져 비교적 染着이 용이하게 일어 날 수 있으나, 온도의 상승과 더불어 染料의 脱着이 더 증가하기 때문이라 사료된다. 한편 固着量인 경우는, 70°C에서 가장 많이 固着되고 있음을 볼 수 있다. 이러한 사실로 보아 70°C 부근이 가장 많이 固着이 일어날 수 % 있고, 이러한 것은 染着과는 달리 強固한 結合을 形成하고 있기 때문에 온도상승에 따른 脱着현상이 쉽게 일어지고 있음을 示唆하고 있다.

Fig. 5, 6은 反應性染料와 같은 조건에서 비교하기 위하여 絹에 대한 酸性染料인 C.I. Acid Blue 138의 平衡收着曲線을 나타낸 것이다.

그림에서 보는 바와 같이, pH가 낮을수록 染着量이 증가하는 것을 볼 수 있다. 또한 모든 조건에서 固着이 전히 없는 것으로 보아 산성염료의 吸着이 주로 이온結合에 기인한다고 말 할 수 있다. 특히 pH가 낮은 경우의 收着舉動이 Langmuir 型과는 다른 型을 보이

고 있다. 다시 말하면, Langmuir型 收着以外에 또 다른 型의 收着이 作用하고 있다는 것을 볼 수 있다. 이 점에 관해서는 後述 하기로 한다.

또한 온도가 높을수록 染着量이 減少하고 있음을 볼 수 있다. 이러한 현상은前述한 바와 같이 正의 엔탈

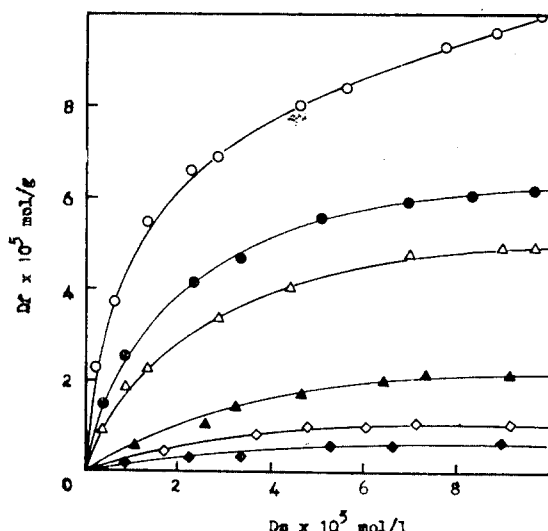


Fig. 5. Adsorption of Acid Blue 138 by Silk fibroin at 70°C
 ○ : pH 2.0 ▲ : pH 8.5 ● : pH 9.5
 △ : pH 7.0 ◇ : pH 9.5 ◆ : pH 10.5

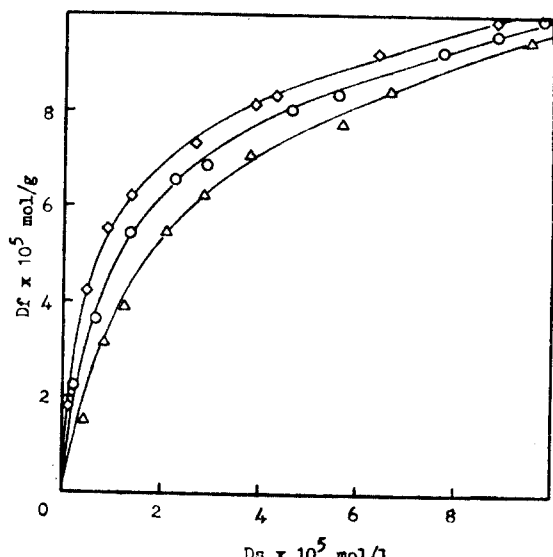


Fig. 6. Adsorption of Acid Blue 138 by Silk fibroin at pH 2.0
 ◇ : 50°C ○ : 70°C △ : 90°C

과로 인한 것이라思料된다.

일반적으로 단백질섬유와酸性染料와의吸着等溫線은Langmuir型吸着曲線을 나타낸다고 알려져 왔다(黑木, 1966). 이러한 현상은, 絹 또는 羊毛의特定座席, 例를 들면 아미노基등에染料陰이온이吸着할때, 일정한 座席數以上은吸着되지 않는 것으로 說明되고 있다. 그러나 때때로 이러한 飽和值以上으로吸着이 일어나는 경우가 있다. 이러한 현상을 所爲 over dyeing이라 말해지고 있으며, 이것은 섬유의特定座席以外에 다른型의結合도 일어나는 것을 示唆하고 있다.

本 연구에서도 Fig. 5에서 보는 바와 같이, pH 7.0에서는染浴의 농도가 높아져도 거의一定한染着量을 나타내고 있지만, pH가 낮을수록染浴의 농도와 더불어染着量도 계속 증가하는 경향을 보였다. 따라서通常의染色에 적용되고 있는 여러吸着等溫線을 검토한結果, 다음과 같은收着式을 적용하였다.

$$D_t = D_p + D_L$$

$$= K_p D_s + \frac{K_L S D_s}{Z(1 + K_L D_s)} \quad (2)$$

여기서 D_t 및 D_s 는 각각 絹絲中の染料농도 및 染浴농도이다. D_p , D_L 및 K_p , K_L 은 각각分配型, Langmuir型의吸着量 및平衡常数, S 는飽和值, Z 는染料의荷電數를意味한다.

Table 1. Equilibrium constants K and Saturation values S for the dyeing of Silk fibroin with Reactive Blue 19.

| pH | Temp. (°C) | $K_L(l/mol)$ | $K_p(l/g)$ | S(eq/g) |
|------|------------|--------------------|------------|-----------------------|
| 2.0 | 70 | 11.6×10^4 | 0.231 | 1.88×10^{-4} |
| 4.0 | 70 | 9.5×10^4 | 0.273 | 1.84×10^{-4} |
| 7.0 | 70 | 6.9×10^4 | 0.286 | 1.91×10^{-4} |
| | 50 | 11.3×10^4 | 0.411 | 1.57×10^{-4} |
| 8.5 | 70 | 7.0×10^4 | 0.289 | 1.83×10^{-4} |
| | 90 | 5.0×10^4 | 0.227 | 1.77×10^{-4} |
| 9.5 | 70 | 7.5×10^4 | 0.349 | 1.57×10^{-4} |
| 10.5 | 70 | — | — | — |

Table 2. Equilibrium constants K and Saturation values S for the dyeing of Silk fibroin with Acid Blue 138.

| pH | Temp. (°C) | $K_L(l/mol)$ | $K_p(l/g)$ | S(er/g) |
|-----|------------|--------------------|------------|-----------------------|
| | 50 | 13.7×10^4 | 0.288 | 1.59×10^{-4} |
| 2.0 | 70 | 12.9×10^4 | 0.249 | 1.63×10^{-4} |
| | 90 | 9.9×10^4 | 0.206 | 1.70×10^{-4} |
| 4.0 | 70 | 12.6×10^4 | 0.190 | 1.68×10^{-4} |
| 7.0 | 70 | 3.1×10^4 | 0 | 1.68×10^{-4} |

Table 1, 2는 上記式으로부터 각종 parameter (K_p , K_L , S)를求한값을要約한것이다.反應性染料인경우, 酸性側에서는 pH가낮을수록 K_L 값은증가하고 K_p 값은감소함을볼수있다. K_L 의증가는絹絲中の아미노基가陽으로荷電되기쉬워染料陰이온과보다쉽게結合할수있다는것을意味하고있다. 또한pH의증가에따라 K_p 값이커지는것은, 固着染料量의증가에의한非靜電氣的效果가커지기때문이라思料된다. 한편, 酸性染料인경우는pH가낮을수록 K_L 및 K_p 값이증가함을볼수있다. 따라서pH가낮을수록絹의活性基가正으로荷電되기쉬워染料陰이온과용이하게이온結合이일어나고있음을알수있으며, pH가낮을수록染料酸(D-SO₃H)이絹中에많이溶解되었음을알수있다. 그리고pH 7.0에서 K_p 값이나타나지않은것으로보아Langmuir型吸着만이作用한다는것을알수있다. 한편, 飽和值을보면絹絲의側鎖및末端아미노基含量(1.91×10^{-4} eq/g)과거의一致하고있다(北條, (1980)).

이러한 사실을종합해보면, 酸性染浴에서는染料陰이온이絹絲中の아미노基와靜電氣의으로結合하고,以外에非解離種인絹絲基質과染料酸및芳香環또는置換基등이非이온적結合을한다고推論할수있다.

한편, 反應性染料의標準親和力($\Delta\mu^\circ$),標準吸着熱(ΔH°)및標準entropy(Δ°)의計算은다음式으로求하였다.

$$-\Delta\mu^\circ = RT \{ \ln[D]_t - Z[D]_t \} - \ln[D]_s - (Z+1)\ln V \quad (3)$$

$$\Delta H^\circ = d(\Delta\mu^\circ/T)/d(1/T) \quad (4)$$

$$\mu S^\circ = (\Delta H^\circ - \Delta\mu^\circ)/T \quad (5)$$

여기서V는絹絲의有效容積(0.3l/kg)이며나머지는前과同一하여.

이러한方法으로求한結果는Table 3에要約했다. Table에서보는바와같이, $-\Delta\mu^\circ$ 는pH가증가할수록

Table 3. Thermodynamic magnitudes for the dyeing of Silk fibroin with Reactive Blue 19.

| pH | Temp. (°C) | $-\Delta\mu^\circ$ (Kcal/mol) | $-\Delta H^\circ$ (Kcal/mol) | ΔS° (e.u.) |
|------|------------|-------------------------------|------------------------------|-------------------------|
| 2.0 | 70 | 14.95 | — | — |
| 4.0 | 70 | 14.59 | — | — |
| 7.0 | 70 | 14.36 | — | — |
| | 50 | 13.59 | — | 34.79 |
| 8.5 | 70 | 14.32 | 34.79 | 34.89 |
| | 90 | 14.98 | — | 34.79 |
| 9.5 | 70 | 14.17 | — | — |
| 10.5 | 70 | 10.66 | — | — |

Table 4. Thermodynamic magnitudes for the dyeing of Silk fibroin with Acid Blue 138.

| pH | Temp. (°C) | $-\Delta\mu_P^\circ$ (Kcal/mol) | $-\Delta\mu_P^\circ$ (Kcal/mol) | $-\Delta H_L^\circ$ (Kcal/mol) | $-\Delta H_P^\circ$ (Kcal/mol) | ΔS_L° (e.u) | ΔS_P° (e.u) |
|-----|------------|------------------------------------|------------------------------------|-----------------------------------|-----------------------------------|--------------------------|--------------------------|
| 2.0 | 50 | 12.61 | 3.77 | 10.00 | 1.76 | 8.08 | 6.22 |
| | 70 | 12.65 | 3.91 | | | 7.72 | 6.26 |
| | 90 | 12.93 | 4.00 | | | 8.07 | 6.17 |
| 4.0 | 70 | 18.40 | 3.72 | — | — | — | — |
| 7.0 | 70 | 32.50 | — | — | — | — | — |

약간減少하는 경향을 보였으며,同一 pH (8.5)에서는 온도의 상승과 함께 약간 증가한다는 것을 알 수 있다. 이러한 표준친화력은 染料가 染浴中の標準狀態로부터 섭유상의標準狀態로 移動하는 尺度를 意味하므로, pH가 낮을 수록, 온도가 높을수록 그 移動하기가 쉽다는 것을 알 수 있다. 한편 標準吸着熱($-\Delta H^\circ$)은 正의 값으로 絹과 反應性染料와의 反應은 發熱反應임을 알 수 있고, 前逆한 바와 같이 온도의 상승과 더불어 溶解度係數가 감소하는 것을 알 수 있다. 또한 엔트로피(ΔS°)는 正의 값으로 보아 染料가 染着座席이 吸着할 때 무질서한 配置를 하고 있다는 것을 알 수 있다.

한편 酸性染料인 경우, $\Delta\mu^\circ$ 를 Gilbert-Rideal式을 利用하여 求하였다.

$$\frac{-\Delta\mu_P^\circ + RT\ln Z}{2.303(z+1)RT} = \log \frac{\theta_D}{1-\theta_D} + pH \quad (6)$$

$$-\Delta\mu_P^\circ = RT\ln K, \quad (7)$$

여기서 θ_D 는 D_L/S 로 座席占有率을 의미하고, Langmuir型과 Nernst型으로 나누어 求하였다.

Table 4는 絹에 대한 酸性染料의 热力学的係數를 求한 것이다. $-\Delta\mu_P^\circ$ 와 $-\Delta H_L^\circ$ 는 온도가 상승함에 따라 약간 증가하였다. 이러한 현상은 反應性染料와 같이, 온도가 상승할수록 染浴中の染料가 纖維上으로 移動하기가 쉬움을 의미한다. 또한 $-\Delta H_P^\circ$ 및 $-\Delta H_L^\circ$ 모두 正의 값을 가짐으로 보아 染着時 무질서한 상태로 反應이 진행된다고 볼 수 있다. 그리고 ΔS° 가 正의 값을 가지는 것으로 보아 染着時 무질서한 상태로 反應이 진행된다고 볼 수 있다.

以上 所定의 pH 및 온도에서 絹絲에 대한 C.I. Reactive Blue 19 및 C.I. Acid Blne 138의 染着舉動을 비교 검토한結果, 酸性側에서 反應性染料인 경우는 酸性染料인 경우와 거의 유사한 舉動을 나타내고 있음으로 보아 이온結合이 主反應이라 볼 수 있다. 한편 알칼리性領域에서는 산성염료인 경우, 染着量이 적어진 반면, 反應性염료인 경우는 固着量이 증가하는 것으로 보아 共有結合이 主反應으로 이루어 진다는 것을 알 수 있다.

摘要

求核付加型 反應性染料인 C.I. Reactive Blue 19와 酸性染料인 C.I. Acid Blue 138로 각각 絹을 平衡染着시켜 渦度 및 pH에 따른 染着量 및 固着量을 求하여 각 조건에서의 染着舉動을 比較検討하였다.

1) 染着은 pH 및 온도가 낮을수록 兩染料 모두 증가하였고, 反應性染料인 경우, pH 8.5, 70°C에서 最大固着量을 나타내었다.

2) 酸性인 경우 反應性染料는 酸性染料와 같은 舉動을 나타내었다.

3) 酸性 및 反應性染料의 K_L 은 pH의 감소에 따라 증가하였고, K_P 는 前者인 경우 증가, 後者인 경우 감소하였다.

4) 온도가 상승할 수록 兩染料 모두 K_L 은 감소하였고, 표준친화력은 증가하였다.

5) 酸性 및 反應性染料의 染着反應은 發熱反應이고 標準엔트로피는 正의 값을 나타내었다.

6) 強酸性側에서는 酸性 反應性染料 모두 Langmuir型 吸着과 Nernst型 吸着의 合으로 나타낼 수 있다.

引用文獻

- Benz, J.(1961) J. Soc. Dyes and Colour., 77, 734
- Bohnert, G.(1961) Melland Textilber., 42, 1156
- Brown, J.C.(1960) J. Soc. Dyes and Colour., 76, 536
- Derbyshire, A.N. and Triman, G.R.(1965) ibid, 81, 584.
- Einsele, U.(1961) ibid., 42, 427
- 北條舒正(1980) 繡絹絲の構造, 信州大
- 黒木宣彦(1966) 染色理論化學, 槿書店
- 皆川基(1981) 絹の科學, 關西生活研究會
- Peters, R.H.(1975) Textile Chemistry, Vol. III, Elsevier

- Reinert, G., Mella, K., Roueffe, P.F., and Zahn, H.
Melliand Textilber., 49, 1313.
- Sadov, F.I. and Krichevskii, G.E.(1969) ibid., 85, 2.
- 清水慶昭(1975) 織學誌(日), 31, 177.
- Shore, J.(1968)J. Soc. Dyes and Colour., 84, 408,
413, 545.
- Shore, J.(1969) ibid., 85, 14.
- Stamm, O.A. and Zollinger H.(1961) Helu. Chem.
Acta., 44, 1123.
- 卓泰文(1983) 韓蠶雜 24(2), 81.
- Vickerstaff, T. (1954) The Physical chemistry of
Dyeing, Oliver and Boyd., London